

из условия сохранения полной энталпии определялась температура T , после чего из уравнения состояния — плотность ρ . Параметры на ударной волне и наклон ее находились совместным решением условий на ударной волне и на характеристике, пересекающей ударную волну.

Проведенные расчеты показывают (фигура), что на отрезке $0 \leq z \leq 50 \text{ см}$ температура на поверхности конуса в рассматриваемом случае уменьшается от 5240°K до 3800°K , а плотность увеличивается от $0.1 \cdot 10^{-4} \text{ г / см}^3$ до $0.14 \cdot 10^{-4} \text{ г / см}^3$. Равновесные (без учета релаксации) значения температуры 3200°K и плотности $0.17 \cdot 10^{-4} \text{ г / см}^3$.

Описанный метод, по-видимому, неприменим в области малых изменений параметров, где параметры мало отличаются от своих равновесных значений.

Авторы благодарят Т. Я. Гришаненко, которая составила программу и провела расчеты на электронно-счетной машине, и Л. И. Северинова за полезное обсуждение работы.

Поступила 9 VIII 1962

ЛИТЕРАТУРА

- Современное состояние аэродинамики больших скоростей. Под ред. Л. Хоупарта, т. I, М., ИЛ, 1955.
- D u f f R. E., D a v i d s o n N. Calculation of Reaction Profiles Behind Steady Shock Waves; II, The Dissociation of Air. Journ. of the Chemical Physics, 1959, vol. 31, 4, p. 1018—1027. (Русск. пер.: Дафф и Дэвидсон. Расчет неравновесной диссоциации воздуха за стационарными ударными волнами. Сб. пер. Вопросы ракетной техники, 1960, № 5 (65), стр. 40—57.)
- L i c k W. Inviscid Flow of a Reacting Mixture of Gases around a Blunt Body. Journal of Fluid Mechanics, 1960, vol. 7, 1, p. 128—144. (Русск. пер.: Лик. Невязкий поток реагирующей смеси около тупого тела. Сб. статей «Газодинамика и теплобмен при наличии химических реакций». М., ИЛ, 1962.)

ПЛОСКИЕ ВЗРЫВНЫЕ ВОЛНЫ В ГРУНТАХ

Г. М. Ляхов, З. В. Нарожная

(Москва)

Излагаются результаты экспериментальных исследований плоских волн в грунтах. Проводится сопоставление параметров плоских и сферических волн, соответствующих одним и тем же грунтам. Определена зависимость параметров волн в неводонасыщенном грунте от содержания воды в порах.

1. Условия проведения опытов. Характеристики грунтов. Параметры волны в грунте, создаваемой при взрыве плоского заряда, в соответствии с принципом подобия, зависят от отношения R° плотности заряда C (т. е. веса заряда в кг , приходящегося на 1 м^2 его площади) к расстоянию R в м от плоскости, в которой расположен заряд

$$R^\circ = \frac{R \cdot m^3}{C \cdot \kappa^2} \quad (1.1)$$

В опытах волны создавались при помощи зарядов, укладываемых на поверхности грунта. Сверху заряды покрывались слоем грунтовой обсыпки. Как показывают результаты опытов, возрастание толщины h обсыпки приводит к увеличению интенсивности волн в грунте. Однако это возрастание происходит лишь в некотором интервале значений h . Увеличение h свыше h_k не влияет на параметры волны. Значение h_k , полученное в опытах, составляет

$$h_k = \kappa C \quad (1.2)$$

В исследованных песчаных грунтах коэффициент $\kappa = 3 \div 4 \text{ м}^3/\text{кг}$. Опыты проводились при $h > h_k$.

При взрыве плоского заряда ограниченных размеров (площади) от слоев грунта, над которыми заряд отсутствует, распространяется боковая волна разрежения, приводящая к ослаблению плоской волны. При достаточно большой площади заряда влияние волны разрежения не оказывается в некоторой центральной области под зарядом, так как давление в плоской волне здесь уменьшается до начального значения до прихода фронта боковой волны разрежения. Приводимые результаты опытов относятся к этой центральной области.

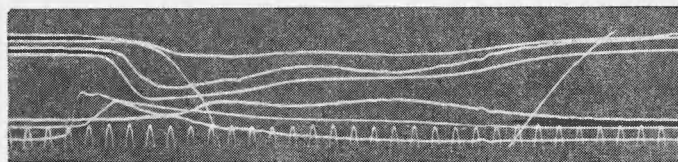
Опыты проводились в песчаных неводонасыщенных грунтах нарушенной структуры (насыпных песках) двух районов.

Пески обоих районов имели объемный вес скелета γ от 1.50 до 1.55 г/см^3

Обозначим δ диаметр в м.м, а β — процентное содержание частиц разного размера. Гранулометрический состав песка первого района характеризуется следующими данными:

δ м.м	≥ 1	1—0.5	0.5—0.25	0.25—0.1	0.1—0.01	0.01
β %	15—18	10—15	30—40	15—25	5—8	2—4

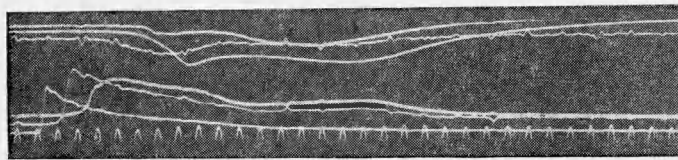
Песок второго района имел близкий состав, но содержание мелких фракций было большим, а частицы с $\delta > 1$ м.м составляли 8—10%.



Фиг. 1

Опыты проводились в сухое и дождливое время года, при различных значениях влажности w грунта. В песке первого района значения влажности составляли $w = 5—7\%$ и $w = 10—12\%$. В песке второго района $w = 2—4\%$.

Грунт в общем случае представляет собой трехкомпонентную среду — твердые частицы, вода, воздух. Закономерности распространения взрывных волн в первую очередь определяются содержанием этих компонентов.



Фиг. 2

Обозначим через $\alpha_1, \alpha_2, \alpha_3$ содержание в грунте по объему соответственно воздуха, воды и твердых частиц, а ρ_1, ρ_2, ρ_3 — плотности этих компонентов при атмосферном давлении. Эти величины связаны между собой и с характеристиками грунта γ и w соотношениями

$$\alpha_1 + \alpha_2 + \alpha_3 = 1, \quad \alpha_3 \rho_3 = \gamma, \quad w = \frac{\alpha_2 \rho_2}{\alpha_3 \rho_3} \quad (1.3)$$

Учитывая, что $\rho_1 = 12 \cdot 10^{-4}$ г/см³, $\rho_2 = 1$ г/см³, $\rho_3 = 2.65$ г/см³, получим, что для различных значений влажности w содержание воздуха составляет

$$\alpha_1 = 0.40 - 0.38 \text{ при } w = 2—4\%$$

$$\alpha_1 = 0.35 - 0.32 \text{ при } w = 5—7\%, \quad \alpha_1 = 0.28 - 0.24 \text{ при } w = 10—12\%$$

Измерение параметров волн осуществлялось при помощи тензометрических и пьезоэлектрических датчиков, показания которых записывались на шлейфных осциллографах. Воспринимающие элементы датчиков устанавливались перпендикулярно и параллельно направлению распространения волны и регистрировали соответственно нормальное P_r и боковое P_t давления.

2. Время действия и скорость распространения волны. На фиг. 1 и 2 приведены осциллограммы, соответствующие волнам, создаваемым при взрывах плоских зарядов с $C = 0.12$ и 0.25 кг/м² в песках первого района при малой влажности. На фиг. 1 лучам 1—6 соответствуют расстояния $R = 0.5, 0.75, 1.50, 1.0, 1.15, 1.3$ м и максимальные значения нормального давления $p_r = 2.5, 1.3, 0.7, 1.2, 1.1, 0.6$ кг/см². На фиг. 2 значения R и p_r составляют 0.5, 0.75, 1.0, 1.5, 1.75, 2.0 м и 11.0, 4.4, 2.3, 1.75, 1.0, 0.8 кг/см². Отсчет лучей ведется от отметки времени с периодом колебаний $T = 0.002$ сек.

Из проведенных опытов следует, что взрывная волна перестает быть ударной при $p_r = 3—5$ кг/см². По мере удаления от места взрыва профиль волны, т. е. зависимость $p(t)$, меняется. Время τ нарастания давления до максимального значения и общее время действия θ увеличиваются. Особенно интенсивно θ растет на близких расстояниях от места взрыва.

На фиг. 3 представлены графики зависимости скорости распространения фронта волны D_1 , а также скорости распространения D_2 максимума давления от относительного расстояния R° , соответствующие песку с $w = 5-7\%$. На близких расстояниях от места взрыва, когда волна является ударной, D_1 и D_2 совпадают. Скорости D_1 и D_2 в песках большей влажности оказались на 20—30% большими, а в песках меньшей влажности на 20—30% меньшими. Из этого следует, что скорости D_1 и D_2 с увеличением влажности грунта (в исследованном интервале значений w) возрастают.

Сопоставление приведенных данных с результатами измерения скорости фронта волны в водонасыщенных песчаных грунтах [1,2] показывает, что в неводонасыщенном песке даже большой влажности $w = 10-12\%$ скорость в десятки раз меньше, чем в водонасыщенном грунте с тем же значением w .

3. Максимальное давление. Результаты измерения максимального нормального давления приведены на фиг. 4. Кривые 1, 2, 3 относятся к пескам с $w = 2-4$, $5-7$ и $10-12\%$.

Из сравнения графиков следует, что с увеличением влажности грунта максимальное давление волны p_r так же, как и скорости D_1 и D_2 , возрастает на всех исследованных расстояниях. Увеличение влажности грунта с 5—7% до 10—12% приводит к увеличению p_r на 30—50%.

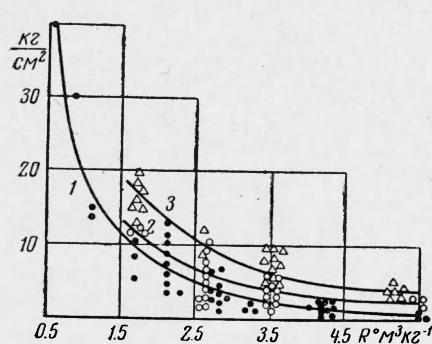
Приведенные на фиг. 4 графики позволяют построить приближенные формулы в виде, соответствующему принципу подобия, для определения максимального давления плоской взрывной волны в неводонасыщенных грунтах различной влажности

$$p_r = k_1 \left(\frac{C}{R} \right)^{\mu_1} \quad (3.1)$$

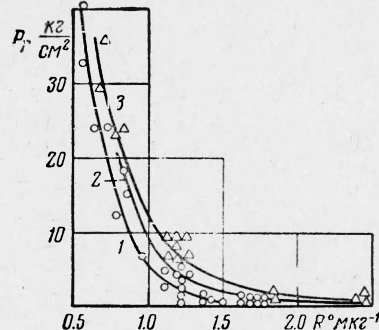
Приводим значения k_1 и μ_1 для плоских волн в грунтах различной влажности:

α_1	$w\%$	k_1	μ_1	k_2	μ_2
0.28—0.24	10—12	28	1.1	10.5	3
0.32—0.35	5—7	21	1.3	8.0	3.2
0.38—0.40	2—4	15	1.4	3.5	3.3

Одновременно с исследованием плоских волн в тех же грунтах были проведены опыты по определению параметров сферических волн, создаваемых при взрыве сосре-



Фиг. 3



Фиг. 4

доточенного заряда. Результаты измерения максимального нормального давления p_r сферической волны приведены на фиг. 5. В этом случае относительное расстояние

$$R^\circ = R/\sqrt[3]{C} \text{ м кг}^{-1/3}$$

Кривые 1, 2, 3, как и на фиг. 4, соответствуют грунтам с теми же значениями влажности, что и кривые на фиг. 4. Из сравнения кривых видно, что с возрастанием влажности грунта значение p_r , как и в случае плоской волны, увеличивается. Из результатов опытов следует, что возрастание влажности, соответствующее прохождению сильного дождя, может изменить значения давления и скорости взрывной волны в грунте на 30—40%.

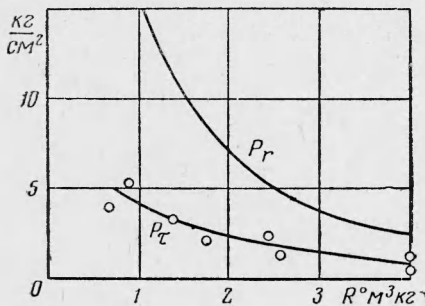
Зависимость максимального давления волны, создаваемой взрывом сосредоточенного заряда, от относительного расстояния, изображенная на фиг. 5, соответствует принципу подобия и может быть представлена в виде, предложенном в работе [1]

$$p_r = k_2 \left(\frac{\sqrt[3]{C}}{R} \right)^{\mu_2} \quad (3.2)$$

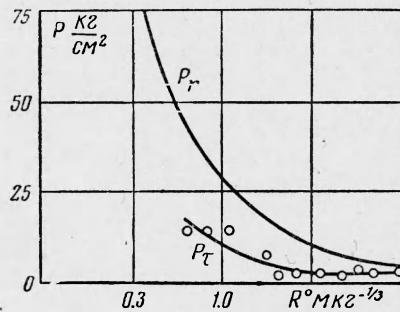
Здесь C — вес сосредоточенного заряда в кг; R — расстояние от центра взрыва в м.

Значения k_2 и μ_2 , соответствующие разному содержанию воды и воздуха в порах грунта, для случая взрыва сосредоточенного заряда приведены выше. Сопоставление выражений (3.1) и (3.2) показывает, что с возрастанием относительного расстояния R^o интенсивность сферической волны убывает существенно быстрее, чем интенсивность плоской волны.

На фиг. 6 и 7 даны графики максимального нормального p_r и бокового p_t давлений, соответствующие опыту в песках с $w = 5-7\%$. Фиг. 6 относится к плоской, а фиг. 7 к сферической волнам. Графики p_r взяты из фиг. 4 и 5.



Фиг. 6



Фиг. 7

Опыты показывают, что в рассмотренном интервале давлений, в случае сферической и плоской волн отношение $p_t/p_r = 0.3-0.4$, т. е. сохраняет примерно постоянное значение. Эти результаты подтверждают данные ранее выполненных исследований [3].

Таким образом, из результатов исследований следует, что с увеличением содержания воды в порах неводонасыщенного грунта (в исследованном интервале значений w) нормальное p_r и боковое p_t давления, а также скорость фронта D_1 , соответствующие плоским и сферическим взрывным волнам, возрастают. Ранее [1] подобная зависимость была установлена для водонасыщенных грунтов. Из сопоставления значений p_r и D_1 в неводонасыщенных и водонасыщенных грунтах следует, что в неводонасыщенных грунтах, даже с относительно большой влажностью ($w = 10-12\%$), нормальное давление p_r и скорость D_1 остаются в десятки раз меньшими, чем в водонасыщенных грунтах.

Это объясняется тем, что сжимаемость неводонасыщенного грунта [4] остается и при большой влажности большей, чем сжимаемость водонасыщенного грунта.

Поступила 18 V 1962

ЛИТЕРАТУРА

- Ляхов Г. М. Ударные волны в грунте и разжижение водонасыщенного песка. ПМТФ, 1961, № 1.
- Ляхов Г. М. Отражение и преломление ударных волн в многокомпонентных средах и в воде. Изв. АН СССР. ОТН, Механика и машиностроение, 1959, № 5.
- Алексеенко В. Д., Григорян С. С. Новгородов А. Ф., Рыков Г. В. Некоторые экспериментальные исследования по динамике мягких грунтов. ДАН СССР, 1960, т. 133, № 6.
- Ляхов Г. М., Покровский Г. И. Взрывные волны в грунтах. М., Госгортехиздат, 1962.